

بررسی آزمایشگاهی مقاوم سازی قاب‌های بتنی با میان قاب مصالح بنایی با استفاده از پلیمرهای مسلح کربنی (CFRP)

ابوبده‌قانی (دانشجوی دکتری)

فریدریز ناطقی‌آبیه^{*} (استاد)

پژوهشگاه بین‌المللی زلزله‌شناسی و مهندسی زلزله

در پیشتر نقاط جهان، و از جمله ایران، ساختمان‌های بتنی^۱ به دلیل سختی جانبی کم و نقص‌های طراحی و اجرا، تحت زلزله‌های قوی دچار آسیب‌های شدید می‌شوند. در این نوشته روشی کاربردی برای مقاوم سازی قاب‌های بتنی میان‌پر با مصالح بنایی و با استفاده از پلیمرهای مسلح کربنی (CFRP)^۲ مورد بررسی قرار گرفته است. هدف از این آزمایش‌های گسترد، تقویت قاب‌های بتنی میان‌پر است به‌گونه‌یی که رفتار کلی سازه بهبود یابد. بدین منظور چهار نمونه قاب میان‌پر یک‌دهانه و یک‌طبقه، نمونه‌ی کنتل و نمونه‌ی مقاوم شده — که براساس آیین‌نامه‌ی قدیمی طراحی و اجرا شده‌اند — تحت بارگذاری سیکلی^۳ شبیدنامیکی تا مرحله‌ی شکست قرار داده شده و پارامترهایی مانند سختی، مقاومت و تغییر مکان نسبی طبقی آن‌ها برآورد شده است. نتایج این تحقیق نشان می‌دهد که مودهای شکست نمونه‌کنتل شامل خردشدنگی کنج‌های بارگذاری شده‌ی میان‌قاب و همچنین شکست برشی ستون بوده، در حالی که نمونه‌های مقاوم شده شکست شکل‌پذیری را داشته‌اند.

a.dehghani@iiees.ac.ir
nateghi@iiees.ac.ir

وازگان کلیدی: ساختمان‌های بتنی، پلیمرهای مسلح کربنی، میان قاب بنایی، رفتار آزمایشگاهی، بارگذاری سیکلی.

۱. مقدمه

رفتار قاب‌های بتنی مقاوم شده با میان قاب بتنی، تحت آزمایش‌هایی روی نمونه‌های یک‌طبقه و یک‌دهانه و نمونه‌های یک‌طبقه و دودهانه بررسی شده است.^[۵-۳] بیشتر روش‌های یادشده زمان‌پر و پرهزینه‌اند و سبب افزایش وزن و اختلال در قابلیت استفاده از ساختمان می‌شوند. از طرفی بعضی از این روش‌ها تنها برای انواع مشخصی از سازه‌ها قابل استفاده‌اند. با توجه به این که در ایران و سایر کشورها ساختمان‌های بتنی فراوانی وجود دارند که به دلیل ضعف‌های لرزه‌یی عمده آسیب‌پذیری بالایی دارند، ارائه روش‌های موثر و کارآمد با سریع ترین زمان ممکن و ایجاد کم‌ترین اختلال در کاربری ساختمان به‌منظور مقاوم سازی این‌گونه ساختمان‌ها، و به طور ویژه تقویت المان‌های مصالح بنایی، یک ضرورت اساسی است. نگارنده‌گان بر این باورند که از ورق‌های پلیمری مسلح با خواص منحصر به فرد، مانند نسبت مقاومت به وزن بسیار بالا و سهولت کاربرد، می‌توان در تقویت این‌گونه ساختمان‌ها بهره جست.

یکی از روش‌های سودمند برای مقاوم سازی اجزای مختلف سازه‌ها — مانند پایه‌ی پل‌ها، تیرها، ستون‌ها و دیوارهای مصالح بنایی — استفاده از پلیمرهای مسلح فیبری یا به اختصار FRP است.^[۴] بررسی‌های تحلیلی و آزمایشگاهی متعدد نشان می‌دهد که استفاده از این مصالح تأثیر به سزایی در عملکرد اجزای سازه و درنتیجه

تجربیات زلزله‌های اخیر نشان داده که وجود میان قاب‌های مصالح بنایی^۴ رفتار سازه را دستخوش تغییرات فراوانی ساخته است. این میان قاب‌ها در ساختمان‌هایی با سازه‌ی فولادی یا بتنی به عنوان اجزای غیرسازه‌یی به کار می‌رود و هنگام طراحی از این‌ها صرف نظر می‌شود. اما هنگام اعمال نیروی جانبی در زمان وقوع زلزله، آثار متقابلي بر قاب‌های احاطه‌کننده‌ی خود وارد می‌کنند. مجموعه‌ی چنین سیستمی را «قابل میان‌پر» می‌نامند. میان قاب‌های مصالح بنایی حتی در زلزله‌های با سطح متوسط نیز رفتار ضعیفی دارند. این رفتار به صورت شکستنده، بدون ناحیه‌ی خمیری، یا با ناحیه‌ی خمیری اندک است. کاهش سریع سختی، مقاومت و ظرفیت جذب انرژی — که سبب شکست‌های بسیار ناگهانی میان قاب‌های مصالح بنایی می‌شود — علت اصلی چنین رفتاری است. بنابراین پتانسیل بالای آسیب‌پذیری میان قاب‌ها هنگام وقوع زلزله به عنوان یکی از مشکلات اساسی برای مهندسین زلزله مطرح است. برای تقویت قاب‌های بتنی میان‌پر، پیشنهادات مختلفی مانند اضافه کردن دیوار برشی، میان قاب بتنی و یا جکت کردن اعضای قاب طرح شده و به صورت تحلیلی^[۱] و آزمایشگاهی^[۲] مورد ارزیابی قرار گرفته است. همچنین

* نویسنده مسئول تاریخ: دریافت ۱۷/۰۵/۱۳۸۹، اصلاحیه ۱۶/۰۵/۱۳۹۰، پذیرش ۱۶/۰۵/۱۳۸۹.

است. طول هم پوشانی میلگردهای طولی ستون به میلگردهای ریشه‌ی تیر فونداسیون ۳۰ سانتی‌متر قرار داده شده که کمتر از مقدار ذکر شده در آین نامه‌ی بنی ایران است. مقطع ستون‌ها شامل ۴ میلگرد با قطر ۱۴ میلی‌متر بوده که در کنج‌ها قرار داده شده است. میلگردهای طولی تیر فوچانی ۴ عدد با قطر ۱۲ میلی‌متر بوده و به صورت ۲ میلگرد فوقانی و ۲ میلگرد تحتانی به کار رفته است. برای تیر فونداسیون از ۶ میلگرد با قطر ۱۴ میلی‌متر و به صورت سه میلگرد فوقانی و ۳ میلگرد تحتانی استفاده شده است.

۲. نمونه‌ی کنترل (SC)

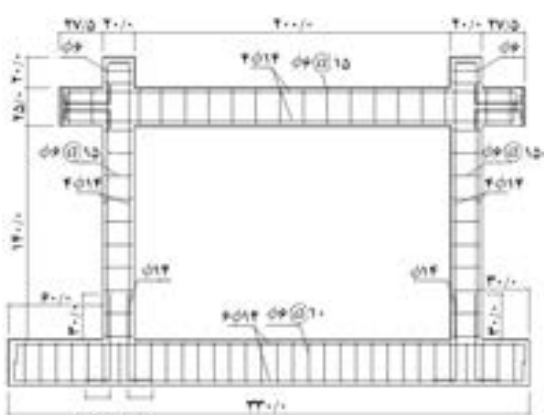
نمونه‌ی کنترل با نام SC شامل قاب و میان قاب آجر فشاری با ضخامت ۱۰ سانتی‌متر و جزئیات طراحی و اجرای مشابه با نمونه‌های مقاوم شده، به عنوان نمونه‌ی شاهد مورد آزمایش قرار گرفته است. درزهای افقی میان قاب دارای بیشینه ارتفاع ۲ سانتی‌متر و درزهای قائم با عرض بیشینه ۱ سانتی‌متر ساخته شده و کاملاً با ملات پر شده است. برای بررسی ساده‌تر و کنترل محل تشکیل ترک‌ها، یک طرف میان قاب با لایه‌ی پسیار نازک گچ پوشانده شده و از انجام هرگونه پلاستر سیمانی به منظور جلوگیری از تغییر سختی دیوار خودداری شده است.

۳. نمونه‌ی S1

نمونه‌ی S1 دارای قاب بتُنی و میان قاب بتُنی شبیه نمونه‌ی SC بوده و تقویت آن شامل استفاده از ورق‌های CFRP با کارکرد خمشی و برشی در محل اتصال ستون به تیر فونداسیون، دوربیچ دولایه‌ی پای ستون‌ها تا ارتفاع ۴۰ سانتی‌متر و تقویت قطری میان قاب با ورق‌های CFRP با عرض ۳۰ سانتی‌متر است. این ورق‌های قطری در مرز قاب و میان قاب برای عملکرد مناسب تر ورق‌ها در کشش، به کنج‌های قاب بتُنی مهار شده است.

به منظور ایجاد اتصال مناسب میان ورق‌های پلیمری و سطوح بتن و میان قاب آجری، با استفاده از سنگ فرز مخصوص و فشار هوا سطح زیرین مسطح شده و از هرگونه آلودگی (شامل گرد و خاک، روغن و مواد چسبنده‌ی دیگر) و همچنین از بر جستگی‌های اضافی پاک شده است. سپس آماده‌سازی سطح میان قاب شامل مشخص کردن محل قرارگیری ورق‌های قطری، پرکردن درزهای میان آجرها توسط ملات ماسه و سیمان نرم در محدوده‌ی مشخص شده، استفاده از سنگ فرز و شست و شوی نهایی دیوار صورت پذیرفته است.

برای اتصال ورق‌های پلیمری مسلح کربنی به سطوح بتن و میان قاب آجری،



شکل ۱. ابعاد و میلگرددگاری نمونه‌ها.

پهلوید رفتار کلی سازه خواهد داشت. مطالعات مختلف نشان می‌دهد که مقاومت و شکل پذیری ستون‌های دوربیچ شده با CFRP به شدت افزایش می‌یابد. همچنین استفاده از ورق‌های CFRP سبب افزایش ظرفیت خمشی تیرها می‌شود.^[۷] نتایج حاصل از آزمایش‌های متعدد روی اتصالات بتُنی مقاوم شده با ورق‌های FRP به روش‌های مختلف، بیان‌گر افزایش قابل توجه ظرفیت برشی اتصالات بوده است.^[۸] افزایش ظرفیت برشی دال‌های بتُنی با بدکارگیری نوارهای FRP براساس مشاهدات آزمایشگاهی مورد تأیید قرار گرفته است.^[۹] تأثیر پارامترهایی چون نوع مواد کامپوزیت، الگوی قرارگیری آن، و نوع بارگذاری بر رفتار دیوارهای بتُنی مقاوم شده تحت آزمایش‌های متعددی بررسی شده است.^[۱۰]

در این مطالعه، در آزمایش‌های مختلف پای ستون‌ها و بالای آن‌ها و همچنین دیوار مصالح بنایی با ورق‌های CFRP تقویت شده و چگونگی روش مقاوم سازی و همچنین نتایج آزمایش‌ها مانند افزایش ظرفیت غییر مکان سازه و دفع انرژی به تفصیل تشریح شده است.

۲. برنامه‌ی آزمایش‌ها

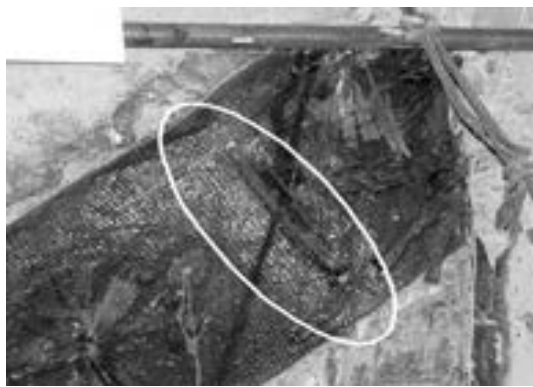
برای انجام آزمایش‌ها از چهار نمونه قاب بتُنی میان پر با آجر فشاری و پک‌دهانه - یک طبقه، یکی به عنوان نمونه‌ی کنترل و سه نمونه‌ی مقاوم شده استفاده شده است. در نمونه‌ی مقاوم شده‌ی اول (S1) در محل اتصال ستون‌ها به تیر فونداسیون ورق‌های پلیمری کربنی با دو کارکرد مختلف خمشی و برشی استفاده شده و سپس پای ستون‌ها تا ارتفاع ۴۰ سانتی‌متر دوربیچ شده است. همچنین دو طرف میان قاب آجری توسط این ورق‌ها به صورت قطری تقویت شده و با مهارهای فیتیله‌یی به قاب پیرامونی و به دیوار آجری متصل شده است. نمونه‌ی مقاوم شده‌ی دوم (S2) مانند نمونه‌ی S1 است با این قفاوت که تعداد مهارهای فیتیله‌یی آن مطابق مشاهدی نقاط جدایش ورق‌های قطری از دیوار در آزمایش S1، افزایش یافته است. نمونه‌ی مقاوم شده‌ی سوم (S3) نیز شبیه نمونه‌ی S1 است، اما علاوه بر پای ستون‌ها بالای ستون‌های قاب از مرز اتصال با تیر فوچانی تا ارتفاع ۴۰ سانتی‌متر دوربیچ شده و در محل اتصال ورق‌های خمشی و برشی به کار رفته است.^[۱۱]

در طراحی، ساخت و اجرای قاب بتُنی، نقص‌های رایج در سازه‌های بتُنی -- مانند مقاومت کم بتن، طول هم پوشانی ناکافی میلگردهای طولی، استفاده از خم ۹۰ درجه، حذف آرماتور برشی در محل اتصال، و کیفیت پایین بتن -- لحظه شده است. علت منظورکردن چنین مواردی تأکید بر کارایی روش ارائه شده برای سازه‌های ضعیف موجود است.

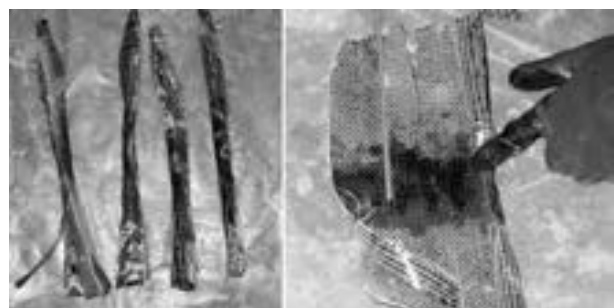
میان قاب آجری، از آجرهای فشاری دستی و طبق کاربرد معمول شان در ساختمان‌های بتُنی موجود، ساخته شده و اتصال آن به قاب پیرامونی ساده بوده که با قراردادن ملات بنایی در مرز اتصال انجام گرفته است. ملات بنایی نیز با نسبت‌های رایج، شامل ۱ حجم سیمان و ۶ حجم ماسه، ساخته شده است.

۳. جزئیات ساخت قاب‌های بتُنی

ساخت قاب بتُنی با استفاده از قالب خاص فلزی به صورت افقی، یا اصطلاحاً «خوابیده» انجام گرفته است. ابعاد مقاطع برای ستون‌ها ۲۰ × ۲۰ سانتی‌متر، تیر فوچانی ۲۵ × ۲۵ سانتی‌متر و تیر فونداسیون ۲۵ × ۳۰ سانتی‌متر است. طبق شکل ۱، خاموت‌ها از میلگردهای ساده با قطر ۶ میلی‌متر و با فواصل ۱۵ سانتی‌متر برای ستون‌ها و تیر فوچانی، و فواصل ۱۰ سانتی‌متر برای تیر فونداسیون در نظر گرفته شده



شکل ۳. مهارهای منگنه‌بی پس از نصب.



شکل ۲. ساخت مهارهای فیتیله‌بی.

علاوه بر چسب پلیمری که از ترکیب رزین و هاردنر با نسبت اختلاط ۱:۷ ساخته می‌شود، از مهارهای فیتیله‌بی ویژه استفاده شده است. مهارهای فیتیله‌بی مطابق شکل ۲ قسمت‌هایی از ورق پلیمری مسلح کربنی با ابعاد 20×20 سانتی‌متر بوده که در جهت الیاف بریده شده و انتهای آن در فواصل $1/5$ سانتی‌متری بطول ۱۰ سانتی‌متر برداشته شده است. یادآور می‌شود که این برداشتهای برای ساخت مهارهای متصل‌کننده‌ی ورق قطری به کنج‌های قاب تنها در یک سمت ورق 20×20 سانتی‌متر انجام گرفته است.

با قراردادن چسب در مرکز ورق‌های بریده شده و فیتیله‌کردن آن‌ها، استقرارشان در سوراخ‌هایی که قبلاً در قاب بتقی و میان قاب (در نقاط مورد نظر) انجام شده، ممکن می‌شود. تعداد مهارها در هر کنج قاب ۳ عدد بوده، و 7×10 سانتی‌متر از فیتیله‌ها درون سوراخ ایجاد شده در قاب بتقی قرار گرفته‌اند و 15×20 تا 20×20 سانتی‌متر از آن روی ورق قطری متصل شده است. قبل از این عمل، درون سوراخ‌ها با استفاده از تزریق کاملاً از چسب پر شده است. مهارهای متصل‌کننده‌ی ورق‌های قطری به میان قاب آجری از ورق پلیمری مسلح کربنی با ابعاد 20×20 سانتی‌متر شبیه مهارهای کنج قاب ساخته شده، با این تفاوت که در دو سمت خود به طول ۱۰ سانتی‌متر برداشته شده‌اند. با تزریق چسب به سوراخ و قراردادن فیتیله‌ها در آن، بخشی از ورق به طول 10×20 سانتی‌متر از هر سمت میان قاب بیرون قرار گرفته که پس از تفکیک، بخش‌های برداشته شده روی ورق قطری چسبانده شده‌اند.

۶. مشخصات مصالح

میانگین مقاومت فشاری بتن برای نمونه‌های مختلف براساس نمونه‌ی استوانه‌بی ۲۸ روزه در جدول ۱ داده شده است. مقاومت فشاری ملات ماسه سیمان، که میان قاب آجر فشاری با آن ساخته شده است، براساس نمونه‌های گرفته شده از ملات در هنگام ساخت میان قاب‌های نمونه‌ها برابر $45/5$ کیلوگرم بر سانتی‌متر مربع است. انتخاب میلگرد‌ها براساس نوع معمول در ساخت‌وسازهای عمومی در نظر گرفته شده است. خصوصیات ورق‌های با الیاف کربن، مطابق مشخصات فنی ارائه شده از طرف شرکت سازنده در نظر گرفته شده است. با قرارگیری ورق‌ها در ماتریس موردنظر که از اختلاط رزین و هاردنر با نسبت ۱:۷ حاصل می‌شود، ورق‌های پلیمری مسلح کربنی به دست می‌آید.

۷. چیدمان آزمایش

تمامی نمونه‌ها به صورت عمودی و به‌گونه‌بی بر روی کف ثابت آزمایشگاه قرار گرفته که سوراخ‌های تعییب شده در تیر فونداسیون به‌هنگام ساخت، در راستای سوراخ‌های موجود در رکف قرار گیرد. همه‌ی نمونه‌ها با استفاده از دست کم 20×20 بولت مقاومت بالا کاملاً به کف ثابت شده‌اند. از آنجاکه هدف آزمایش‌ها مقایسه‌ی رفتار نمونه‌ها نسبت به نمونه‌ی کنترل است با استفاده از جک هیدرولیکی با ظرفیت 50 تن، بار چرخه‌بی در شرایط یکسان به نمونه‌ها وارد شده است. در محل اتصال صفحه‌ی جک به تیر فوقانی، ورق‌های

جدول ۱. میانگین مقاومت فشاری بتن.

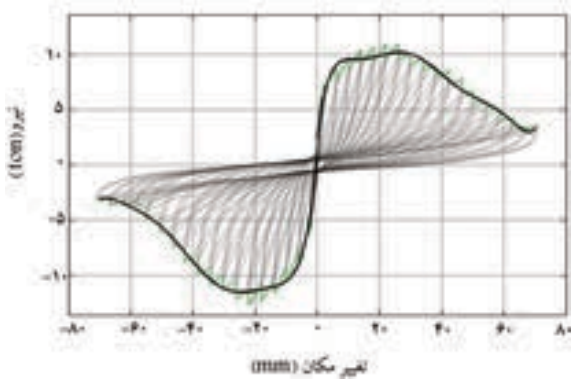
میانگین f'_c , (kg/cm ²)	نمونه	ردیف
۲۵۵,۹۵	SC	۱
۲۶۶,۳۷	S1	۲
۲۹۵,۰۶	S2	۳
۲۹۷,۲۶	S3	۴

۴.۲. نمونه‌ی S2

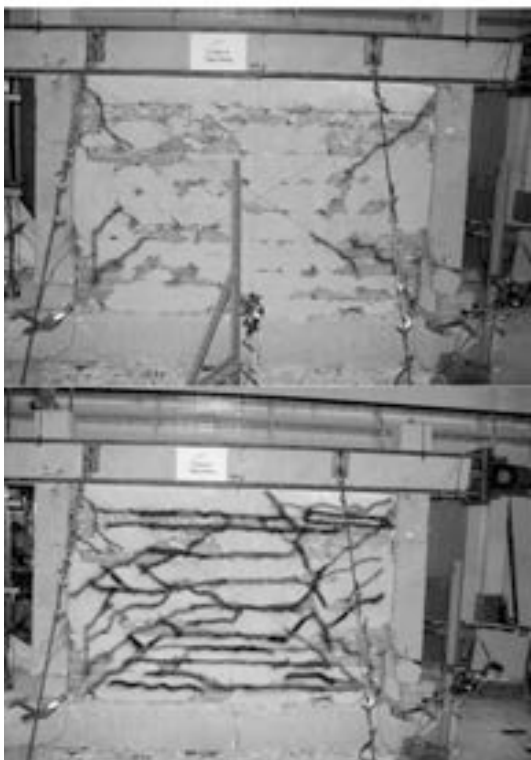
مشخصات بتن، شیوه‌ی میلگردگذاری و کیفیت بتون نمونه‌ی S2 مانند سایر نمونه‌ها، و تقویت آن با ورق CFRP نیز مشابه نمونه‌ی S1 است، اما تعداد مهارها بر روی میان قاب افزایش یافته است. علت این افزایش مشاهده‌ی جدایش زوده‌نگام برخی از نقاط ورق تقویت قطری میان قاب، و خارج شدن آن از باربری است. بنابراین مهارهای اضافه شده در این نقاط با الگوی خاصی چیده شده، به طوری که بیشینه‌فاسمه‌ی میان دو مهار متوالی 40×20 سانتی‌متر باشد. در نزدیکی کنج‌ها نیز از مهارهای منگنه‌بی که ورق‌های دوطرف دیوار را کاملاً به شکل منگنه در خود می‌گیرد (شکل ۳)، استفاده شده است.

۴.۳. نمونه‌ی S3

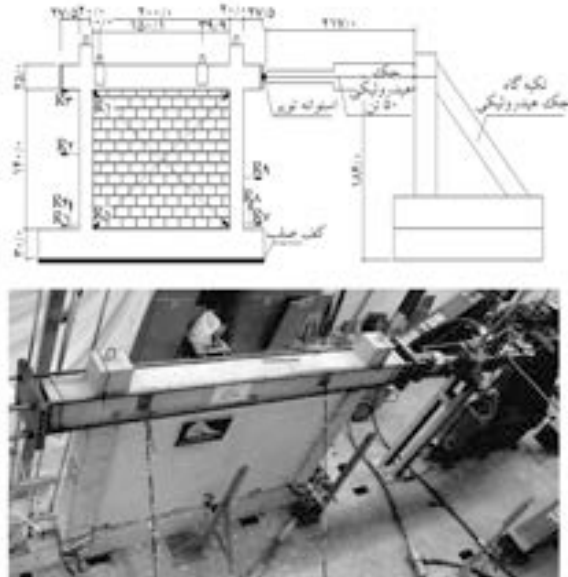
شکستهای برشی ستون‌ها در نمونه‌های S1 و S2 سبب شد تا در نمونه‌ی S3 بالای ستون‌ها نیز مشابه آنچه در بای ستون‌ها بیان شد با ورق‌های CFRP تقویت شود. به این ترتیب از مرز اتصال ستون به تیر فوقانی تا ارتفاع 40 سانتی‌متر از ستون با دولا به‌ی CFRP دور پیچ شده و همچنین از ورق‌های با کارکرد خمشی و برشی در محل اتصال ستون به تیر فوقانی استفاده شده است. تقویت قطری میان قاب و تعداد



شکل ۵. منحنی چرخه‌بی نمونه‌ی SC



شکل ۶. خرابی در ستون‌ها، و نیز ترک‌ها در میان قاب نمونه‌ی SC.



شکل ۴. چیدمان آزمایش.

فولادی با ابعاد $۱/۵ \times ۲۰ \times ۲۵$ سانتی‌متر در انتهای تیر و بهمنظور جلوگیری از تمکر تنش در محل اعمال بار جانبی و ترک خوردگی و لهیگی موضعی بتن قرار داده شده است. چهار سیم بکسل از دو طرف نمونه نقاط خاصی از جوهر جانبی تیر را به کف ثابت متصل کرده و بنابراین امکان حرکت خارج صفحه‌ی قاب وجود ندارد.

به منظور اندازه‌گیری تغییر مکان افقی و قائم نمونه، در نقاط مختلف جایه‌جایی سنج
نصب شده است. سه جایه‌جایی سنج در بالا وسط و پایین ستون مقابل جک،
سه جایه‌جایی سنج در محل اعمال بار و ۱/۳ ارتفاع ستون و پایین ستون نزدیک
به جک، و ۲ جایه‌جایی سنج به صورت عمودی بر روی تیر فونداسیون نصب شده
است. در نقاط خاصی از ورق‌های قطری در دو طرف میان قاب ۸ عدد کرنش سنج
است. در کاربرده شده تا عملکرد ورق‌های قطری قابل ارزیابی باشد. شکل ۶-۱۱
نحوه چیدمان آزمایش و محل نصب تجهیزات را نشان می‌دهد.

۳. رفتار نمونه‌ها

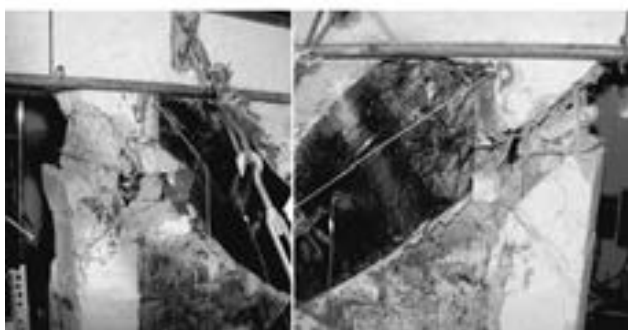
۱۰ نمونه‌ی کنترل (SC)

بیشینه نیروی قابل تحمل توسط سیستم قاب و میان قاب در حدود ۱۲ تن است. البته این مقدار برای حالت های کششی و فشاری کمی متفاوت است که ناشی از شیوه راستای بارگذاری است. براساس منحنی چرخه بی نشان داده شده در شکل ۵، سختی از ابتدای بارگذاری کاهش می یابد. در تغییر مکان های بالاتر به عملت تخریب پای سوتون ها (شکل ۶)، و همچنین شکست میان قاب، کاهش سختی و مقاومت ناشیم، از تکرار حلقه های مشابه کاهش، بافته است.

پس از تغییر مکان ۶ سانتی متر به دلیل تخریب های شدید در قاب و میان قاب، روند کاهش سختی و مقاومت متوقف شده و مقاومت در حدود ۲/۵ تن ثابت مانده است. با رسیدن تغییر مکان به مقدار ۷ سانتی متر آزمایش متوقف شده است. خطوط روشن تر ترک های رخ داده در میان قاب را در اوایل بارگذاری، و خطوط تیره تر ترک های متناهی بارگذاری را نشان می دهد.



شکل ۹. نمونه‌ی S1 پس از پایان بارگذاری.



شکل ۱۰. خرد شدن بالای ستون‌ها و خارج شدن مهار از بتون در نمونه‌ی S1.

تن را تجربه کرده و هنوز ترک قابل ملاحظه‌ی در قاب یا میان‌قاب مشاهده نشده بود. با افزایش بیشتر تغییر مکان و افزایش تعداد سیکل‌های بارگذاری ترک‌هایی با زاویه‌ی حدوداً 60° درجه نسبت به افق، از کنج‌های پائینی میان‌قاب به سمت بالا تشکیل شد. جهت انتشار ترک‌ها به سمت مناطق تقویت‌نشده بود. با افزایش تغییر مکان، یک ترک افقی در محدوده‌ی مثلثی تقویت‌نشده تشکیل شده و به سمت ورق‌های پلیمری دو طرف خود منتشر شده و عرض آن تا انتهای آزمایش بیشتر شد (شکل ۹).

در انتهای آزمایش، ترک برشی ایجاد شده در بالای ستون‌ها که در مراحل اولیه بارگذاری رخ داده بود، شروع به بازشدن کرده و در نهایت بتون این ناحیه کاملاً خرد شده و از ستون جدا شده است (شکل ۱۰). این فرایند سبب بیرون آمدن مهارهای فیتیله‌یی از درون بتون شده و لذا مهارها از برابری خارج شدند.

۳. نمونه‌ی S2

رفتار نمونه‌ی S2 که منحنی چرخه‌ی آن در شکل ۱۱ نشان داده شده است، شبیه نمونه‌ی S1 بوده با این تفاوت که بدلیل افزایش تعداد مهارها، جدایش ورق‌ها از سطح دیوار در تغییر مکان‌های بالای ستون تعداد مهارها، جدایش ورق‌ها از کرده است. مقاومت پس از رسیدن به تغییر مکان نسبی $18/5$ تن را تحمیل کرده است. مقاومت پس از رسیدن به تغییر مکان نسبی $1/5$ ٪ که متناظر با جدایش ورق‌ها از سطح میان‌قاب است، دچار افت شده اما نسبت به نمونه‌ی S1 با روند کندتری صورت گرفته است.

شکل پذیری نسبت به نمونه‌ی S1 افزایش یافته و از شکست‌های ترد ناگهانی در قاب و همچنین جدایش زودهنگام ورق‌ها جلوگیری شده است. اما روند استهلاک انرژی تغییر قابل ملاحظه‌ی نداشته است. انرژی مستهلك شده تجمعی در تغییر

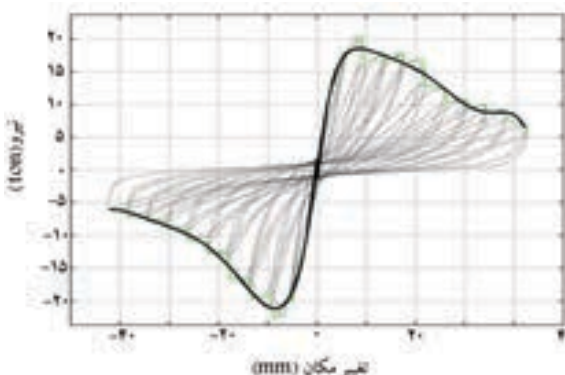
شده و با ادامه‌ی بارگذاری و ایجاد ترک برشی پای ستون‌ها در امتداد ترک قطری میان‌قاب، این اعضا نیز شکست برشی را تجربه می‌کنند.

۲.۳. نمونه‌ی S1

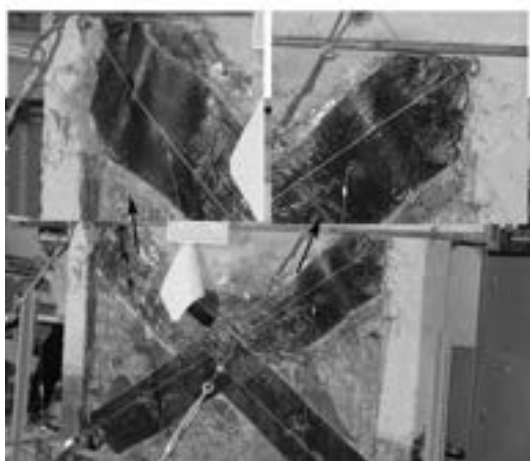
بیشینه نیروی قابل تحمل برای نمونه‌ی اول مقاوم شده $22/3$ تن بوده که تقریباً دو برابر نمونه‌ی کنترل است. مطابق منحنی چرخه‌یی نشان داده شده در شکل ۷، مقاومت پس از رسیدن به تغییر مکان 9 میلی‌متر که متناظر با جدایش ورق‌های پلیمری کریبی از کنج‌های میان‌قاب است، دچار افت می‌شود. در تغییر مکان‌های بالاتر به عملت تخریب بالای ستون‌ها و ترک خودگیری میان‌قاب، کاهش سختی و مقاومت روند کندتری را طی کرده است. برای جلوگیری از خرابی احتمالی جک، با رسیدن تغییر مکان به مقدار $4/2$ سانتی‌متر آزمایش متوقف شده است.

سختی اولیه‌ی نمونه‌ی S1 حدود 50 KN/mm با دست آمده که تقریباً با سختی نمونه‌ی کنترل برابر است. این سختی به تدریج کاهش یافته و در جا به جای نسبی 3% به کمتر از $2/5$ KN/mm رسیده است.

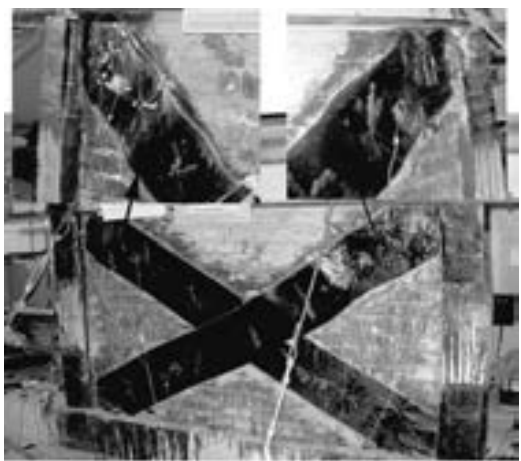
در نیروی جانبی برابر با $18/5$ تن اولین جدایش ورق قطری از سطح دیوار در مجاورت کنج فوچانی سمت چپ و در فاصله‌ی کنج با رگذاری تا اولین مهار فیتیله‌یی رخ داده است (شکل ۸). اما برابری همچنان ادامه یافته و به دلیل اتصال ورق‌ها به کنج‌های قاب، هنگامی که ورق‌های قطری تحت کشش قرار می‌گرفتند، به محل اولیه‌ی خود بازگشته و در برابری شرکت می‌کردند. بنابراین نمونه بار 22



شکل ۷. منحنی چرخه‌یی نمونه‌ی S1.



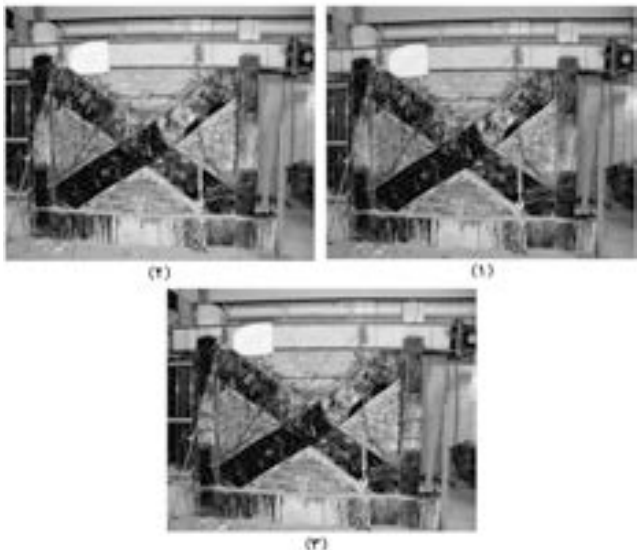
شکل ۸. جدایش ورق‌های پلیمری در نمونه‌ی S1.



شکل ۱۳. جدایش مختصر ورق در فاصله‌ی دو مهار متواالی، در نمونه‌ی S^۳.



شکل ۱۴. ترک‌های ریز خمشی در ستون‌ها منتظر با انتهای بارگذاری نمونه‌ی S^۳.



شکل ۱۵. الگوی شکل‌گیری ترک در نمونه‌ی نقویت‌شده‌ی S^۳.

نسبت به افق از کنج‌های پایینی قاب به سمت بالا -- به عبارتی به سمت مناطق تقویت‌نشده -- تشکیل شد. الگوی شکل‌گیری ترک‌ها براساس مراحل بارگذاری در شکل ۱۵ به ترتیب با شماره‌ی ۱، ۲ و ۳ نشان داده شده است. ملاحظه می‌شود که اولین ترک‌ها در میان قاب با الگوی متفاوت نسبت به میان قاب مقاوم‌نشده شکل گرفته و سپس قاب و میان قاب در مزهای اتصال از یکدیگر جدا شده و در پایان ترک‌های خمشی در وسط ستون تشکیل می‌شود.

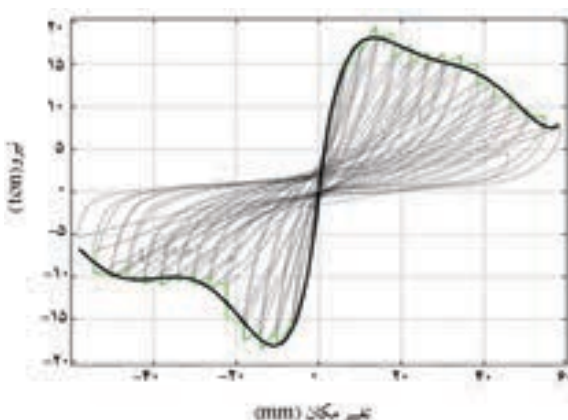
مکان ۴/۲ سانتی‌متر برای نمونه S¹ برابر با ۳۱۰۰۰ نیوتون - متر بوده و برای نمونه S² مقدار ۳۸۰۰۰ نیوتون - متر به دست آمده است.

۴.۳. نمونه‌ی S^۳

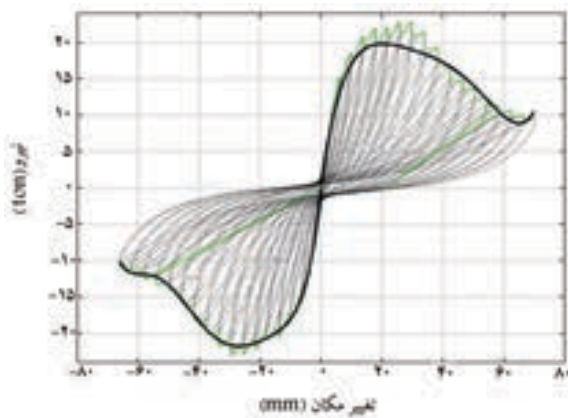
مطابق منحنی چرخه‌ی نشان داده شده در شکل ۱۲، سیستم قاب میان پر تقویت‌شده در این حالت بار ۲۳/۲ تنی را تحمل کرده و تنها پس از تغییر مکان ۳۰ میلی‌متری دچار افت تدریجی شده است. این تغییر مکان سه برابر تغییر مکان نمونه‌ی S¹ و متناظر با جدایش جزئی ورق‌ها از سطح میان قاب بوده است. کاهش سختی و مقاومت پس از تغییر مکان ۶۰ میلی‌متری، به دلیل تخریب کنج‌های بارگذاری شده‌ی میان قاب، متوقف شده و در حدود ۱۰ تن ثابت مانده است.

مشابه آنچه که در نمونه‌های SC، S¹ و S² ملاحظه شد، شبیه منحنی نمودار تجمعی انرژی هیسترزیس تجمعی تقریباً ثابت مانده و بیشینه انرژی مستهلک شده‌ی آن در ۸۰۰۰ نیوتون‌متر بوده که دست‌کم دو برابر نمونه‌ی کنترل است.

اولین جدایش ورق‌های قطری در تغییر مکان نسبی ۲٪ در کنج فوکانی سمت راست و در حد فاصل دو مهار متواالی رخ داده است؛ شکل ۱۳ جدایش ورق‌ها از سطح دیوار را نشان می‌دهد. تا این هنگام هیچ‌گونه ترک قابل ملاحظه‌ی در قاب یا میان قاب مشاهده نشده و تنها پس از افزایش تغییر مکان، ترک‌های خمشی در وسط ستون (شکل ۱۴) و شکست کنج‌های میان قاب مشاهده شده است. با افزایش بیشتر تغییر مکان و افزایش تعداد چرخه‌های بارگذاری، ترک‌هایی با زاویه‌ی حدود ۶۰ درجه



شکل ۱۱. منحنی چرخه‌ی نمونه‌ی S^۲.



شکل ۱۲. منحنی چرخه‌ی نمونه‌ی S^۳.

۴. نتیجه‌گیری

مقاوم‌سازی با ورق‌های پلیمری مسلح تأثیر چندانی بر سختی اولیه ندارد، در حالی که بر روند کاهشی سختی مؤثر است. کاهش سختی در نمونه‌های مقاوم‌شده تا 15 KN/mm^2 شدیدتر بوده و پس از آن روند کاهشی کمتری شود. همچنین مقدار این کاهش برای حالتی که بالا و پایین ستون‌ها تقویت شود کمتر بوده است.

نمونه‌های مقاوم‌شده انرژی بیشتری را مستهلك کردند. مقدار انرژی مستهلك شده در نمونه‌یی که بالا و پایین ستون تقویت شده قرار دارد، بیشتر است. برای این نمونه مقدار انرژی مستهلك شده در انتهای آزمایش تقریباً دو برابر نمونه‌یی کشتل است. از آنجا که آزمایش نمونه‌ی S1 در تغییر مکان 44 میلی‌متر متوقف شده است، امکان مقایسه‌ی مقدار انرژی مستهلك شده در تغییر مکان نهایی وجود ندارد. اما انرژی مستهلك شده در این میزان جایه‌جایی تقریباً $1/5$ برابر نمونه‌ی کشتل بوده است.

انرژی مستهلك شده در تغییر مکان 44 میلی‌متر برای نمونه‌ی S1 حدود $2 \times 10^4 \text{ N.M}$ ، برای نمونه‌ی S2 حدود $3 \times 10^4 \text{ N.M}$ ، و برای نمونه‌ی S3 حدود $4 \times 10^4 \text{ N.M}$ برابر باورده است.

براساس آنچه که در آزمایش نمونه‌ی کشتل مشاهده شد و همچنین نتایج آزمایش‌های متعددی که تاکنون روی قاب‌های میان‌پر انجام گرفته، میان‌قاب مصالح بنایی باعث تغییرات اساسی در مشخصات دینامیکی قاب‌ها شده و منحنی رفتاری آن‌ها را تغییر می‌دهد. لذا در نظر گرفتن اثرات آن‌ها هنگام طراحی سازه ضروری به نظر می‌رسد.

پابلوشت

1. concrete structure
2. carbon fiber reinforced polymers
3. cyclic loading
4. masonry infill

منابع

1. Sugano, S. "State-of-the-art in technique for rehabilitation of building", *CD Proceeding of the 11th WCEE*, (2175), (1996).
2. Higashi, Y.; Endo, T.; Okhubo, M. and Shimizu, Y. "Experimental study on strengthening reinforced concrete structure by adding shear wall", *Proceeding of the 71th WCEE*, **7**, pp. 173-80 (1980).
3. Erdem, I.; Akyuz, U.; Ersoy, U. and Ozcebe, G. "Experimental and analytical studies on the strengthening of RC frames", *13th World Conference on Earthquake Engineering*, Vancouver, B.C., Canada, p. 673 (August 1-6 2004).
4. Ersoy, U. and Uzsoy S. "The behavior and strength of infilled frames", Report No. MAG-205, TUBITAK, Ankara, Turkey (1971).
5. Canbay, E.; Ersoy, U. and Ozcebe, G. "Contribution of reinforced concrete infills to seismic behavior of structural systems", *Structural Journal, ACI*, **100**(5), pp. 637-643 (2003).
6. Pantelides, C.P.; Gergely, J.; Reaveley, L.D. and Volnyy, V.A. "Retrofit of RC bridge pier with CFRP advanced composites", *J. of Structural Eng., ASCE*, **125**(10), pp. 1094-1099 (1999).
7. Zhang, Z. and Hus, C.T. "Shear strengthening of reinforced concrete beams using carbon-fiber-reinforced polymer laminate", *Journal of Composites for Construction*, **9**(2), pp. 158-69 (2005).
8. Triantafillou, T.C. "Strengthening of masonry structures using: Epoxy-bonded FRP laminates", *Journal of Composites for Construction, ASCE*, **2**(2), pp. 96-104 (1998).
9. Robertson, I.N. and Johnson, G. "Repair of slab-column connection using epoxy and carbon fiber reinforced polymer", *Journal of Composites for Construction*, **8**(5), pp. 376-83 (2004).
10. Albert, M.L.; Elwi, A.E. and Cheng, J.J.R. "Strengthening of unreinforced masonry walls using FRPs", *Journal of Composites for Construction, ASCE*, **5**(2), pp. 76-83 (2001).
11. Dehghani, A. and Nateghi, E.F., *Rehabilitation of Reinforced Concrete Building Using Fiber Reinforced Polymers (FRPs)*, Thesis, International Institute of Seismology and Earthquake Engineering, Tehran, Iran (2005).